

увеличивается от 1,20 до 1,48 ГПа, тогда как при увеличении скорости от 300 до 500 м/с  $\sigma_f$  возрастает лишь от 1,48 до 1,52 ГПа), ясно, что формулой (2.1) нужно пользоваться с осторожностью.

В [8] предложено для оценки степени разрушения материала использовать параметр

$$(2.2) \quad R = u_3/u_1, \quad 0 < R < 1.$$

Отмечается [8], что  $R = 0,5$  соответствует уровню зарождающегося откола. Видно (см. таблицу), что с возрастанием скорости удара значение  $R$  увеличивается. Сопоставление  $R$  с относительным объемом полостей  $V_v$  (рис. 2) показывает, что корреляция между ними наблюдается лишь до определенного предела (до образования в материале макротрещины). Это объясняется, по-видимому, тем, что в зависимости от условий соударения и физико-механических свойств рассматриваемых тел образование откольной поверхности может проходить с различным уровнем повреждений [2]. Так, по данным [11] для различных материалов значение поврежденности, при котором происходит образование макротрещины, может изменяться в пределах от 0,2 до 0,8.

#### ЛИТЕРАТУРА

1. Зельдович Я. Б., Райзер Ю. П. Физика ударных волн и высокотемпературных гидродинамических явлений.— М.: Наука, 1966.
2. Ахмадеев Н. Х. Динамическое разрушение твердых тел в волнах напряжений.— Уфа: БФАН СССР, 1988.
3. Курран Д. Р., Симэн Л., Шоки Д. А. Микроструктура и динамика разрушения // Ударные волны и явления высокоскоростной деформации металлов.— М.: Металлургия, 1984.
4. Волков И. А. Математическое моделирование процесса накопления повреждений при динамическом деформировании материала // Прикладные проблемы прочности и пластичности. Методы решения: Всесоюз. межвуз. сб.— Нижний Новгород: Нижегород. ун-т, 1991.
5. Rajendran A. M., Dietenberger M. A., Growe D. J. A void growth based failure model to describe spallation // J. Appl. Phys.— 1989.— V. 65, N 4.
6. Коротких Ю. Г., Угодчиков А. Г. Уравнения состояния при малоцикловом нагружении.— М.: Наука, 1981.
7. Уилкинс М. Л. Расчет упругопластических течений // Вычислительные методы в гидродинамике.— М.: Мир, 1967.
8. Cochran S., Banner D. Spall studies in uranium // J. Appl. Phys.— 1977.— V. 48, N 7.
9. Степанов Г. В. Упругопластическое деформирование и разрушение материалов при импульсном нагружении.— Киев: Наук. думка, 1991.
10. Канель Г. П., Фортов В. Е. Механические свойства конденсированных сред при интенсивных импульсных воздействиях // Усп. механики.— 1987.— Т. 10, вып. 3.
11. Леметр Ж. Континуальная модель повреждения, используемая для расчета разрушения пластичных материалов // Тр. Амер. о-ва инженеров-механиков. Теор. основы инж. расчетов.— 1985.— Т. 107, № 1.

г. Нижний Новгород

Поступила 12/XII 1990 г.  
в окончательном варианте — 12/II 1992 г.

УДК 532.529 : 518.5

А. Г. Кутушев, С. П. Родионов

### РАСПРОСТРАНЕНИЕ УДАРНЫХ ВОЛН В ПОЛИДИСПЕРСНЫХ ГАЗОВЗВЕСЯХ

Реальные газовзвеси всегда полидисперсны, т. е. содержат частицы разных размеров. Для описания их движения в большинстве известных в настоящее время моделей газовзвесей предполагается наличие только одной или нескольких фракций частиц, в каждой из которых содержатся частицы одинакового размера [1—4]. Недостатком такого описания яв-

© А. Г. Кутушев, С. П. Родионов, 1993

ляется неучет реального непрерывного распределения частиц по размерам. Уравнения движения полидисперсных газовзвесей с непрерывной функцией распределения частиц по размерам в линейном (акустическом) приближении рассматривались в [5, 6]. В [6] показано, что полное описание движения полидисперсной газовзвеси нельзя в общем случае осуществить в рамках модели монодисперсной газовзвеси. В связи с этим возникает проблема описания движения полидисперсной газовзвеси с непрерывной функцией распределения частиц по размерам за нелинейными (ударными) волнами.

В данной работе получена система интегродифференциальных уравнений движения инертной полидисперсной газовзвеси с непрерывной функцией распределения частиц по размерам с учетом столкновений между частицами разных размеров. На основе выведенных уравнений и развитого метода их численного решения выполнены расчеты структуры и затухания ударных волн в полидисперсных газовзвесах. Установлено удовлетворительное согласие расчетных данных и результатов [7, 8]. Показано, что структура ударных волн в полидисперсных газовзвесах в значительной степени зависит от дисперсного состава ансамбля частиц.

**1. Основные уравнения.** Аналогично [5, 6] полидисперсная газовзвесь предполагается состоящей из совокупности бесконечного числа монодисперсных фракций сферических несжимаемых частиц, радиус которых находится в интервале от  $a$  до  $a + da$ . Число частиц одной такой фракции в единице объема

$$d\tilde{n} = \tilde{N}(a, x, t) da,$$

где  $x$  — пространственная координата частиц;  $t$  — время;  $\tilde{N}$  — функция распределения частиц по размерам. Полное число частиц всех размеров в единице объема смеси

$$n = \int_{a_{\min}}^{a_{\max}} \tilde{N}(a, x, t) da$$

( $a_{\min}$  и  $a_{\max}$  — минимальный и максимальный размер частиц). Величина  $d\tilde{n}$  считается достаточно большой, чтобы движение фракции частиц можно было описывать методами механики многофазных сплошных сред [4].

Дополнительно принимаются следующие допущения: в первоначальном состоянии полидисперсная газовзвесь является однородной ( $\tilde{N}(a, x, 0) = \tilde{N}_0(a)$ ,  $n(x, 0) = n_0 = \text{const}$ ); процессы межфазного массообмена, дробления и слипания частиц отсутствуют; столкновения частиц разных размеров абсолютно упругие; отсутствуют внешние массовые силы; вклад нестационарных сил Архимеда, присоединенной массы и силы Бассэ в общую силу межфазового взаимодействия газа с частицами пренебрежимо мал. Последнее допущение справедливо, если объемное содержание частиц в смеси достаточно мало (много меньше 1) [9].

Вывод уравнений движения полидисперсной газовзвеси с непрерывной функцией распределения частиц по размерам иллюстрируется на примере уравнения сохранения массы взвеси, которое для монодисперсной фракции частиц (радиус их лежит в интервале от  $a$  до  $a + da$ ) имеет вид

$$(1.1) \quad \frac{\partial(\tilde{d}\tilde{\rho}_2)}{\partial t} + \frac{\partial(\tilde{d}\tilde{\rho}_2)\tilde{v}_2}{\partial x} = 0 \quad (\tilde{d}\tilde{\rho}_2 = \tilde{m}_2 d\tilde{n} = \tilde{m}_2 \tilde{N} da),$$

где  $\tilde{d}\tilde{\rho}_2$  — средняя плотность частиц монодисперсной фракции;  $\tilde{m}_2$  и  $\tilde{v}_2$  — масса и скорость частиц с радиусом  $a$ . Из уравнения (1.1) после деления его левой и правой части на  $\tilde{m}_2 da$  следует уравнение сохранения числа частиц, которое в случае отсутствия фазовых переходов эквивалентно уравнению сохранения массы взвеси:

$$(1.2) \quad \frac{\partial \tilde{N}}{\partial t} + \frac{\partial \tilde{N} \tilde{v}_2}{\partial x} = 0.$$

Аналогичными рассуждениями получается система уравнений движений полидисперсной газовой смеси, обобщающая соответствующую систему уравнений для многофракционной газовой смеси [1] в случае непрерывного распределения частиц по размерам:

$$(1.3) \quad \bar{m}_2 \left( \frac{\partial \tilde{N} \tilde{v}_2}{\partial t} + \frac{\partial \tilde{N} \tilde{v}_2^2}{\partial x} \right) = \tilde{N} (\tilde{f}_u + \tilde{f}_c);$$

$$(1.4) \quad \tilde{m}_2 \left( \frac{\partial \tilde{N} \tilde{e}_2}{\partial t} + \frac{\partial \tilde{N} \tilde{e}_2 \tilde{v}_2}{\partial x} \right) = \tilde{N} \tilde{q}_{12};$$

$$(1.5) \quad \frac{\partial \rho_i}{\partial t} + \frac{\partial \rho_i v_i}{\partial x} = 0;$$

$$(1.6) \quad \frac{\partial \rho_1 v_1}{\partial t} + \frac{\partial \rho_1 v_1^2}{\partial x} + \frac{\partial p}{\partial x} = -F_{12};$$

$$(1.7) \quad \frac{\partial}{\partial t} (\rho_1 v_1 + E_\rho) + \frac{\partial}{\partial x} (\rho_1 E_1 v_1 + E_{\rho v}) + \frac{\partial}{\partial x} (p \alpha_1 v_1 + p \alpha_v) = 0,$$

$$\rho_1 = \rho_1^0 \alpha_1, \quad \alpha_1 + \alpha_2 = 1, \quad E_1 = e_1 + 0,5v_1^2,$$

$$\alpha_2 = \int_{\Delta} \frac{\tilde{m}_2}{\rho_2^0} \tilde{N} da, \quad \bar{m}_2 = \frac{4}{3} \pi \rho_2^0 a^3,$$

$$\tilde{E}_2 = \tilde{e}_2 + 0,5\tilde{v}_2^2, \quad E_\rho = \int_{\Delta} \tilde{m}_2 \tilde{E}_2 \tilde{N} da,$$

$$E_{\rho v} = \int_{\Delta} \tilde{m}_2 \tilde{E}_2 \tilde{v}_2 \tilde{N} da, \quad \alpha_v = \int_{\Delta} \frac{\tilde{m}_2}{\rho_2^0} \tilde{N} \tilde{v}_2 da, \quad F_{12} = \int_{\Delta} \tilde{f}_u \tilde{N} da.$$

Уравнения (1.2)–(1.4) — законы сохранения массы и импульса частиц, а также уравнение притока тепла к дисперсным частицам, имеющим радиус  $a$ ; (1.5), (1.6) — законы сохранения массы и импульса газа; (1.7) — закон сохранения полной энергии смеси. Здесь индексы 1 и 2 внизу относятся соответственно к параметрам газа и частиц; величины, зависящие от радиуса частиц  $a$ , отмечены знаком  $\sim$ : подынтегральный знак  $\Delta$  показывает интегрирование по размеру частиц от  $a_{\min}$  до  $a_{\max}$ ;  $\rho_i, \rho_i^0, \alpha_i, v_i, e_i, E_i$  — средняя и истинная плотности, объемное содержание, массовая скорость, удельные внутренняя и полная энергии  $i$ -й фазы ( $i = 1, 2$ );  $\tilde{e}_2$  и  $\tilde{E}_2$  — удельные внутренняя и полная энергии частиц с радиусом  $a$ ;  $E_\rho$  — полная энергия всех частиц в единице объема смеси;  $E_{\rho v}$  — поток полной энергии ансамбля частиц через единичную поверхность в единицу времени;  $\alpha_v$  — среднеобъемная скорость дисперсных частиц;  $p$  — давление газа;  $\tilde{f}_u$  — сила межфазного трения одиночных частиц с радиусом  $a$  и газа;  $\tilde{f}_c$  — сила столкновений между одиночной частицей радиуса  $a$  и частицами других размеров;  $F_{12}$  — сила межфазного трения, действующая со стороны газа на ансамбль частиц разных размеров в единице объема смеси;  $\tilde{q}_{12}$  — интенсивность теплового взаимодействия между газом и частицами, имеющими радиус  $a$ .

Система интегродифференциальных уравнений (1.2)–(1.7) замыкается заданием уравнений состояния фаз, законов межфазного взаимодействия и взаимодействия сталкивающихся частиц разных размеров. В качестве уравнений состояния фаз принимаются уравнения идеального calorически-совершенного газа и несжимаемых твердых частиц:

$$(1.8) \quad p = \rho_1^0 R_1 T_1, \quad e_1 = c_1 T_1 \quad (R_1 = (\gamma - 1) c_1 \equiv \text{const}), \quad \rho_2^0 = \text{const}, \quad \tilde{e}_2 = c_2 \tilde{T}_2 \quad (c_2 = \text{const}).$$

Здесь  $R_1$  — газовая постоянная;  $c_i$  — удельные теплоемкости газа ( $i = 1$ ) и частиц ( $i = 2$ ) при постоянном объеме;  $\gamma$  — показатель адиабаты газа;  $T_1$  — температура газа;  $\tilde{T}_2$  — температура фракции частиц с радиусом  $a$ .

Сила межфазного трения  $f_\mu$  и интенсивность контактного теплообмена  $\tilde{q}_{12}$  отдельной частицы радиуса  $a$  с газовой фазой задаются на основе выражений [1]

$$(1.9) \quad \tilde{f}_\mu = 0.5\pi a^2 \tilde{C}_d \rho_1^0 |v_1 - \tilde{v}_2| (v_1 - \tilde{v}_2),$$

$$\tilde{C}_d = \frac{24}{\tilde{\text{Re}}_{12}} + \frac{4}{\sqrt{\tilde{\text{Re}}_{12}}} + 0.4, \quad \tilde{\text{Re}}_{12} = \frac{2a\rho_1^0 |v_1 - \tilde{v}_2|}{\mu_1}, \quad \tilde{q}_{12} = 2\pi a \tilde{\text{Nu}}_{12} \lambda_1 (T_1 - \tilde{T}_2),$$

$$\tilde{\text{Nu}}_{12} = 2 + 0.6\tilde{\text{Re}}_{12}^{0.5} \text{Pr}_1^{0.33}, \quad \text{Pr}_1 = \gamma c_{1\mu_1} / \lambda_1 \quad (\lambda_1, \mu_1 = \text{const}),$$

где  $\tilde{C}_d$  — коэффициент аэродинамического сопротивления твердой сферической частицы;  $\tilde{\text{Nu}}_{12}$ ,  $\text{Pr}_1$ ,  $\tilde{\text{Re}}_{12}$  — числа Нуссельта, Прандтля и Рейнольдса;  $\mu_1$  и  $\lambda_1$  — динамическая вязкость и теплопроводность газа.

Зависимость для силы столкновений частиц разных размеров  $f_c$  получается в результате подсчета числа соударений между частицей радиуса  $a$  и частицами радиуса  $a_1$  в единице объема пространства и в единицу времени. Это число соударений затем умножается на изменение импульса частицы радиуса  $a$  при одном упругом соударении и далее суммируется по всем размерам  $a_1$ :

$$(1.10) \quad \tilde{f}_c = \frac{8\pi^2}{3} \kappa^{(F)} \rho_2^0 \int_{\Delta} f(a, a_1) |\tilde{w}| \tilde{w} \tilde{N}(a_1, x, t) da_1,$$

$$f(a, a_1) = (a_1 a)^3 (a_1 + a)^2 (a_1^2 + a^2)^{-1},$$

$$\tilde{w} = \tilde{v}_2(a, x, t) - \tilde{v}_2(a_1, x, t) \quad (a_{\min} \leq a_1 \leq a_{\max})$$

( $\kappa^{(F)}$  — коэффициент, характеризующий долю импульса, перешедшего, в среднем, от частицы радиуса  $a$  к частице радиуса  $a_1$  при одном столкновении между ними). Согласно экспериментальным данным [10], при относительных скоростях соударения  $\sim 10$  м/с величина  $\kappa^{(F)} \simeq 0.1$ .

**2. Постановка задачи.** Применительно к условиям экспериментов, описанных в [7, 8], где на ударных трубах выполнено изучение закономерностей распространения ударных волн в инертных газовзвесах, рассматривается следующая задача.

Имеется прямолинейная ударная труба длиной  $L$ , состоящая из камер высокого и низкого давлений (соответственно КВД и КНД), разделенных друг от друга диафрагмой. В начальный момент времени  $t=0$  КВД ( $0 \leq x \leq x_*$ ) заполнена сжатым газом, КНД — частично ( $x_* < x < x_{**}$ ) невозмущенным газом и частично ( $x_{**} \leq x \leq L$ ) полидисперсной смесью инертных твердых сферических частиц. Ставится цель — описать процесс эволюции проходящей в газовзвеси ударной волны, возникающей в КНД после разрыва диафрагмы (распада начального разрыва), в моменты времени  $t > 0$ .

Начальные условия для сформулированной задачи имеют вид

$$(2.1) \quad p(x, 0) = p_*, \quad \rho_1^c(x, 0) = \rho_{1*}^0, \quad T_1(x, 0) = T_0,$$

$$v_1(x, 0) = 0, \quad \alpha_1(x, 0) = 1, \quad \alpha_2(x, 0) = 0 \quad (0 \leq x \leq x_*),$$

$$p(x, 0) = p_0, \quad \rho_1^c(x, 0) = \rho_{10}^0, \quad T_1(x, 0) = T_0,$$

$$v_1(x, 0) = 0, \quad \alpha_1(x, 0) = 1, \quad \alpha_2(x, 0) = 0 \quad (x_* < x < x_{**}),$$

$$p(x, 0) = p_0, \quad \rho_1^0(x, 0) = \rho_{10}^0, \quad T_1(x, 0) = T_0,$$

$$v_1(x, 0) = 0, \quad \alpha_1(x, 0) = \alpha_{10}, \quad \alpha_2(x, 0) = \alpha_{20} = 1 - \alpha_{10},$$

$$\tilde{v}_2(a, x, 0) = 0, \quad \tilde{T}_2(a, x, 0) = T_0, \quad \tilde{N}(a, x, 0) = \tilde{N}_0(a) \quad (x_{**} \leq x \leq L).$$

В качестве граничного условия на левом торце ударной трубы ( $x=0$ ) принималось условие равенства нулю скорости газовой фазы:

$$(2.2) \quad v_1(0, t) = 0.$$

Граничное условие для дисперсной фазы при  $x=0$  не ставилось ввиду отсутствия частиц в окрестности левой стенки трубы в течение всего

времени исследуемого движения. На правом торце ударной трубы ( $x = L$ ) ставилось условие непротекания для газа и свободного протекания для частиц:

$$(2.3) \quad v_1(L, t) = 0, \quad \tilde{v}_2(a, L_+, t) = \tilde{v}_2(a, L_-, t).$$

Система интегродифференциальных уравнений (1.1)–(1.10) с начальными (2.1) и граничными (2.2), (2.3) условиями численно решалась методом крупных частиц [11] по алгоритму [12]. При этом интегральные величины  $E_\rho$ ,  $E_{\rho v}$ ,  $\alpha_v$ ,  $\alpha_2$ ,  $F_{12}$  рассчитывались по формуле Симпсона. Вычислительная программа была написана на алгоритмическом языке Фортран-77. Расчеты проводились на микроЭВМ «Besta-88». Характерное время счета одного варианта движения газозвеси с 5–10 фракциями частиц составляло  $\sim 5$  ч. Точность расчетов контролировалась путем пересчета с уменьшенными шагами по времени и по пространству.

Все расчеты проводились с использованием следующих значений термодинамических параметров газовой и дисперсной фаз, соответствующих экспериментам [7, 8]: газ — воздух [7, 8]:  $T_0 = 293$  К,  $p_0 = 0,1$  МПа,  $\rho_{10}^0 = 1,29$  кг/м<sup>3</sup>,  $\gamma = 1,4$ ,  $a_{10} = (\gamma p_0 / \rho_{10}^0)^{0,5} = 341$  м/с,  $c_1 = 716$  м<sup>2</sup>/(с<sup>2</sup>·град),  $\mu_1 = 1,85 \cdot 10^{-5}$  кг/(м·с),  $\lambda_1 = 2,6 \cdot 10^{-2}$  кг·м/(с<sup>3</sup>·град); частицы кварцевого песка [7]:  $\rho_2^0 = 2650$  кг/м<sup>3</sup>,  $c_2 = 754$  м<sup>2</sup>/(с<sup>2</sup>·град); частицы стекла [8]:  $\rho_2^0 = 2500$  кг/м<sup>3</sup>,  $c_2 = 766$  м<sup>2</sup>/(с<sup>2</sup>·град).

В первой серии расчетов, как и в экспериментах [7], длина  $L$  ударной трубы 7,1 м, а длины КВД  $x_*$  и КНД  $L - x_*$  составляли 1,8 и 5,3 м. Протяженность области невозмущенного газа в КНД 2 м ( $x_{**} = 3,8$  м), а протяженность слоя газозвеси 3,3 м.

Во второй серии расчетов, отвечающих экспериментам [8], длины ударной трубы, ее КВД и КНД равны 7,81; 2 и 5,81 м. Протяженность области невозмущенного газа в КНД 1,05 м, а слоя газозвеси 4,76 м.

Данные о функции распределения частиц по размерам  $N_0(a)$  в [7], к сожалению, отсутствуют. Приводится лишь интервал изменения радиусов частиц, в частности,  $a_{\min} = 1,5$  мкм,  $a_{\max} = 4,5$  мкм. В этой связи для расчетов выбиралось одномодальное гамма-распределение

$$(2.4) \quad \tilde{N}_0(a) = Aa \exp\left[-\frac{1}{2} \left(\frac{a}{a_*}\right)^2\right] \quad (a_* = \text{const}).$$

Постоянная  $A$  определялась из условия нормировки

$$\alpha_{20} = \int_{\Delta} \frac{\tilde{m}_2}{\rho_2^0} \tilde{N}_0(a) da.$$

Для выбранного закона распределения частиц по размерам (2.4) имеем

$$A = \frac{3\alpha_{20}}{8\sqrt{2}\pi a_*^5} \left\{ \left[ -z(z^2 + 1,5) \exp(-z^2) + 0,75\sqrt{\pi} \operatorname{erf}(z) \right] \Big|_{z_{\min}}^{z_{\max}} \right\}^{-1}$$

$$\left( z = \frac{a}{\sqrt{2}a_*}, \quad a_{\min} \leq a_* \leq a_{\max} \right).$$

Значение постоянной  $a_*$  задавалось равным 2 мкм.

В [8] приводится более подробная информация о спектре полидисперсной газозвеси. Указан интервал изменения радиусов частиц ( $a_{\min} = 2,5$  мкм,  $a_{\max} = 32,5$  мкм), а также экспериментально определена гистограмма фракционного состава газозвеси, показанная на рис. 1.

В настоящей работе предлагается аппроксимация экспериментальной гистограммы [8] нормально-логарифмическим законом

$$(2.5) \quad \tilde{N}'_0(a) = \frac{n_0}{a \ln \sigma \sqrt{2\pi}} \exp\left[-\frac{1}{2} \left(\frac{\ln a - M}{\ln \sigma}\right)^2\right] \quad (M = \ln a_M).$$

Здесь  $a_M$  — так называемый медианный радиус частиц [13];  $M$  — математическое ожидание (среднее значение) дискретной величины  $\ln a$ , ( $j =$

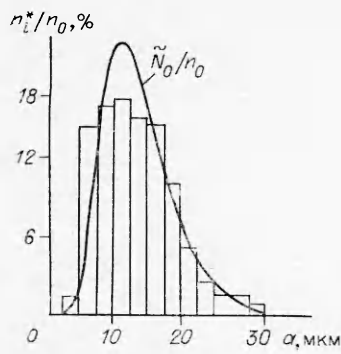


Рис. 1

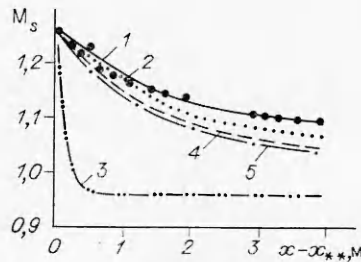


Рис. 3

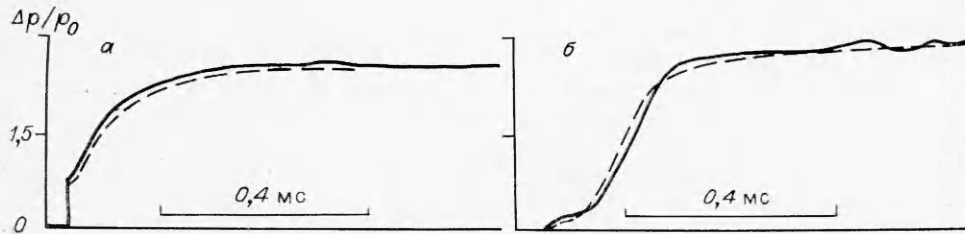


Рис. 2

$= 1, 2, \dots, J$ ):  $\sigma$  — стандартное (среднеквадратичное) отклонение логарифмов радиусов частиц от среднего значения;  $\ln^2 \sigma$  — дисперсия дискретной величины  $\ln a_j$  ( $j = 1, 2, \dots, J$ ). Соответствующие выражения для нахождения  $M$  и  $\ln^2 \sigma$  по экспериментальным гистограммам имеют вид [14]

$$M = \sum_{j=1}^J \ln a_j \frac{n_j^*}{n_0}, \quad \ln^2 \sigma = \sum_{j=1}^J (\ln a_j - M)^2 \frac{n_j^*}{n_0},$$

где  $n_j^*$  и  $a_j$  — числовая концентрация и радиус частиц  $j$ -й фракции.

Функция распределения (2.5) удовлетворяет условию нормировки

$$\int_0^{\infty} \tilde{N}'_0(a) da = n_0.$$

Ввиду того что в действительности интервал изменения радиусов частиц конечен, вместо функции  $\tilde{N}'_0(a)$  использовалась функция  $\tilde{N}_0(a) = k\tilde{N}'_0(a)$ , удовлетворяющая условию нормировки на конечном интервале изменения величины радиуса частиц ( $\Delta = a_{\min} \rightarrow a_{\max}$ ):

$$\int_{\Delta} \tilde{N}_0(a) da = n_0.$$

Для всех рассмотренных ниже экспериментальных данных [8]  $k = 1,214$ ,  $M = 0,393$ ,  $\ln^2 \sigma = 2,869$ .

Обратимся к результатам численного моделирования процесса распространения ударных волн в полидисперсных инертных газозвесах применительно к экспериментальным условиям работ [7, 8].

**3. Некоторые результаты.** На рис. 2 показаны расчетные (штриховые линии) и экспериментальные ([7], сплошные) осциллограммы давления за проходящими ударными волнами в полидисперсных газозвесах:  $a$  — ударная волна со скачком,  $b$  — ударная волна с плотностью размытой структурой без скачка. Начальное относительное массовое содержание взвеси в КНД ударной трубы для  $a, b$   $\rho_{20}/\rho_{10} = 1; 1,7$ , а отношение начальных давлений в КВД и КНД для  $a, b$  соответственно  $p_*/p_0 =$

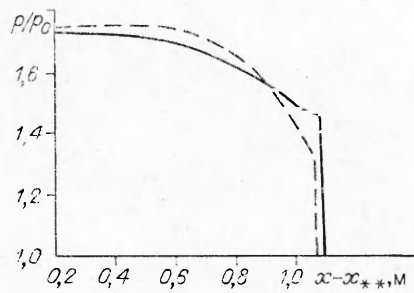


Рис. 4

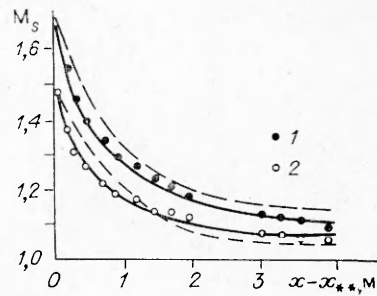


Рис. 5

$= 11,65$  и  $11,06$ . Осциллограммы давления отвечают датчикам, установленным в КНД ударной трубы на расстоянии  $x = 4,8$  м от ее левого торца. Сравнение расчетных и экспериментальных данных (рис. 2) свидетельствует об их удовлетворительном согласии. При этом максимальная относительная погрешность теории в зоне квазиравновесного движения фаз не превышает  $4,5\%$ .

На рис. 3 сопоставлены расчетные и экспериментальные [8] зависимости числа Маха  $M_s = D/a_{10}$  переднего фронта распространяющейся по газозвеси ( $\rho_{20}/\rho_{10} = 0,63$ ) ударной волны ступенчатого вида от пройденного расстояния в смеси. Экспериментальные значения отмечены значком  $\bullet$ , линия 1 — численное решение, полученное в рамках системы уравнений (1.1) — (1.10) с нормально-логарифмической функцией распределения частиц по размерам, 2, 3 — численные решения, соответствующие модели монодисперсной газозвеси с  $a_{\max} = 32,5$  мкм и  $a_{\min} = 2,5$  мкм, 4 — численное решение [8], найденное на основе модели монодисперсной газозвеси ( $a_0 = 13,5$  мкм), 5 — численное решение авторов настоящей работы, отвечающее модели монодисперсной газозвеси с эффективным радиусом частиц  $a_* = 17,5$  мкм, определяемым на основе акустической теории газозвеси для коротких возмущений [6]:

$$(3.1) \quad a_* = \left[ \int_{\Delta} \tilde{N}_0(a) a^3 da \int_{\Delta} \tilde{N}_0(a) a da \right]^{1/2}.$$

Число Маха ударной волны, набегающей на газозвесь,  $M_0 = 1,258$ , что соответствует отношению начальных давлений в КВД и КНД ударной трубы  $p_*/p_0 = 12,0$ .

Как видно из рис. 3, расчеты, выполненные в рамках модели полидисперсной газозвеси, удовлетворительно (в пределах  $6\%$ ) соответствуют экспериментальным данным. Расчеты, проведенные по модели монодисперсной смеси газа и частиц, не описывают в должной степени затухание переднего ударного скачка. Следует отметить, что неадекватное описание экспериментальных результатов в рамках модели монодисперсной газозвеси с эффективным радиусом частиц (3.1) свидетельствует о существенном вкладе в эволюцию переднего ударного скачка нелинейных эффектов.

Качественное влияние полидисперсности на структуру проходящей в газозвесь нестационарной ударной волны проиллюстрировано на рис. 4, где показаны расчетные профили давления на момент времени  $t = 2,835$  мс (отсчет времени осуществляется от момента взаимодействия волны с облаком частиц). Параметры смеси и другие начальные условия такие же, как на рис. 3. Сплошная линия — решение, отвечающее модели полидисперсной газозвеси, штриховая — решение по модели монодисперсной смеси с эффективным радиусом частиц  $17,5$  мкм [6].

Как видно из рис. 4, фракционный состав взвеси дисперсных частиц заметно влияет на эволюцию проходящей ударной волны: в полидисперсной газозвеси наблюдается менее интенсивное затухание ударного скачка и соответственно формируется более длинная зона выравнивания ско-

ростей и температур фаз, чем в монодисперсной смеси газа и частиц. Последнее свидетельствует о том, что в полидисперсной газозвеси сила межфазного трения, действующая со стороны газа на ансамбль частиц, оказывается меньше аналогичной силы в случае монодисперсной смеси (эффекты межфазного теплообмена играют меньшую роль по сравнению с эффектами межфазного трения).

На рис. 5 сравниваются расчетные и экспериментальные [8] зависимости числа Маха проходящей ударной волны в газозвеси от пройденного расстояния. Точки 1, 2 — экспериментальные значения, отвечающие  $M_0 = 1,7$  ( $p_*/p_0 = 22,0$ ) и  $1,48$  ( $p_*/p_0 = 17,5$ ),  $\rho_{20}/\rho_{10} = 1,4$  и  $1,25$ , сплошные линии — численное решение, полученное в рамках изложенной выше модели полидисперсной газозвеси с данными (функцией распределения и спектром), как на рис. 1, 3, 4, штриховые — численное решение [8], найденное по модели монодисперсной смеси с эффективным радиусом частиц  $13,5$  мкм. Сравнение приведенных расчетных и экспериментальных зависимостей свидетельствует о наилучшем описании (в пределах 6 %) опытных данных численными решениями по модели полидисперсной газозвеси.

Таким образом, предложенная методика описания и решения системы интегродифференциальных уравнений могут быть использованы для расчета нестационарных одномерных течений инертных полидисперсных газозвесей с непрерывной функцией распределения частиц по размерам. Проведенные расчеты показали, что наилучшее описание экспериментальных результатов удается получить в рамках модели полидисперсной смеси газа и частиц. Структура и затухание ударной волны в полидисперсной газозвеси в значительной степени зависят от дисперсного состава смеси. Эффект столкновения частиц разных размеров за ударными волнами  $1 \leq M_0 \leq 2$  в смесях с  $0 < \rho_{20}/\rho_{10} \leq 2$  и  $1,5 \leq a \leq 33$  мкм пренебрежимо мал.

Авторы выражают признательность О. Н. Пичугину за помощь в составлении вычислительной программы.

#### ЛИТЕРАТУРА

1. Нигматулин Р. И. Динамика многофазных сред.— М.: Наука, 1987.— Ч. 1.
2. Мясников В. П. О динамических уравнениях движения двухкомпонентных систем // ПМТФ.— 1967.— № 2.
3. Киселев С. П., Фомин В. М. Континуально-дискретная модель для смеси газ — твердые частицы при малой объемной концентрации частиц // ПМТФ.— 1986.— № 2.
4. Киселев С. П., Фомин В. М. Исследование каустик в двухфазной среде газ — частицы // ПМТФ.— 1987.— № 4.
5. Ishii R., Matsuhisa H. Steady reflection, absorption and transmission of small disturbances by a screen of dusty gas // J. Fluid Mech.— 1983.— V. 130.— P. 259.
6. Гумеров И. А., Ивандаев А. И. Распространение звука в полидисперсных газозвесах // ПМТФ.— 1988.— № 5.
7. Oota E., Tajima K., Morii H. Experiments and analyses on shock waves propagating through a gas-particle mixtures // Bull. JSME.— 1976.— V. 19, N 130.
8. Sommerfeld M. The unsteadiness of shock waves propagating through a gas-particle mixtures // Experiments in Fluids.— 1985.— N 3.— P. 197.
9. Ивандаев А. И., Кутушев А. Г. Влияние экранирующих слоев газозвеси на отражение ударных волн // ПМТФ.— 1985.— № 1.
10. Бабуха Г. Л., Шрайбер А. А. Взаимодействие частиц полидисперсного материала в двухфазных потоках.— Киев: Наук. думка, 1972.
11. Белоцерковский О. М., Давыдов Ю. М. Метод крупных частиц в газовой динамике.— М.: Наука, 1982.
12. Ивандаев А. И., Кутушев А. Г. Численное исследование нестационарных волновых течений газозвесей с выделением границ двухфазных областей и контактных разрывов в несущем газе // ЧММСС.— 1983.— Т. 14, № 6.
13. Зеленин В. И., Константинов П. Е., Михеенко С. Г., Салимов О. П. Распределение размеров частиц, образующихся при моделировании абляции метеоритного вещества // Астрон. вестн.— 1982.— Т. 16, № 3.
14. Корн Г., Корн Т. Справочник по математике.— М.: Наука, 1984.

г. Тюмень

Поступила 23/VII 1991 г.,  
в окончательном варианте — 29/I 1992 г.